



34.10
2012



2013

34.10—2012

27 2002 . 184- « — 1.0—2004 « », .
»

1 « »
(« »)

2 26 « -
»

3 7 2012 . 215- -

4 34.10—2001

« ».
() « ».
« ».
—
».
« ».
— ,
»

1	1
2	1
3	1
3.1	1
3.2	3
4	3
5	4
5.1	4
5.2	5
5.3	6
6	6
6.1	7
6.2	9
.1	()	11
.1.1	11
.1.2	(l).....	12
.1.3	(ll).....	12
.2	2.....	13
.2.1	13
.2.2	(l).....	14
.2.3	(ll).....	15
	16

34.10—2012

(),

-
,
-
-

- 34.11—2012.

2382-2 [1). / 9796 f2)— [3]. / 14888 [4]— / 10118 [8]—[11J.

Information technology. Cryptographic data security.
Generation and verification processes of electronic digital signature

— 2013—01—01

1

() (— (-
) , (-
).

2

8

34.11—2012

« », 1 ,
{ } ,
, , ,

3

3.1

8

3.1.1

(appendix):

[/ 14888-1:2008, [4Q

3.1.2

(signature key):

(/ 14886-1:2008. {4

3.1.3

(verification key): , .
(/ 14888-1:2008, [4])

3.1.4

(domain parameter): , -
,
(/ 14888-1:2008, [4])

3.1.5

(signed message): , t
,
(/ 14888-1:2008, (4))

3.1.6

(pseudo-random number sequence):
(;
,
(2382-2:1976, [1])

3.1.7

(random number sequence):
()
<
(2382-2:1976, (1))

3.1.8

(verification process): ,
,
(
(/ 14888-1:2008, (4))

3.1.9

(signature process): , *
,
(/ 14888-1:2008, (4))

3.1.10

(witness): , -
()

3.1.11

(random number): , -
,
(2382-2:1976, (1

3.1.12

(message):
(/ 14888-1:2008, (4))

3.1.13

- (hash-code): -
(/ 14888-1:2008, (4))

3.1.14

- (collision-resistant hash-function):

- 1) , ;
- 2) , ;
- 3) - , .

[/ 14886-1:2008. [4

1 1) ,
;
2) , (3)
), , ;
2 , - , .
« - », « - », « » « , -
» .

3.1.15

[(signature); : . -
(/ 14886-1:2008. [4fl

1 . , , -
2 . -
« », « » « , -
» .

3.2

8 :
 V_{-} / :
 V^{*}_{-} ;
 Z_{-} ;
 F_{-} , > 3 ;
(0.1..... -1):
 $P(\text{mod })_{-}$, ;
 $_{-}$. Me V*;
(, l_2)— () :
.
m — ;
q — ;
— ;
— q ;
 d — ;
Q — — ;
Q — .

4

() (. / 14888-1 [4]) -
:
• ():

m®OQ.rt6Z.nai

(8)

$$2 < Q < 2^{56} \quad 2^{508} < Q < 2^{513}$$

• * (. .),
 $qP-$;
 . - $V^* \rightarrow$,
 , / . -
 34.11—2012. $2^{25} < q < 2^{22}$ «. / = 256. $2^{50} < q < 2^{512}$. / = 512.
 :
 • — d , $0 < d < q$;
 • — (. . „). -
 $dP -$. -
 :
 • ' * 1 (mod g) (= 1.2.... . - 31.
 $2^{50} < q < 2^{512}$, = 131. $2^{50} < q < 2^{512}$;
 • * :
 - : $J(E) * 0 \quad J(E) * 1728$.
 5.3

-
 / .
 , — :
 $\& = \{ \langle / , \dots \dots \dots \rangle \} - heVj <$ (9)
 $(, / = 0, \dots, / - 1 \in \mathbb{Z}$ 1. 0.
 / .

$$\mathbb{E} \langle, 2 \rangle \quad (10)$$

1.....)'
 >.

. () -
 :

$$^{11}) \quad " (/ . \dots \dots \dots * fy- 1^* \dots \dots \dots) - \quad (^2)$$

$$21 \quad .$$

$$2^{\cdot} \quad (11) \quad (12) \quad ftj/T_2 \quad 21$$

-
 .
 ,
 ,
 5.2.
 d $Q(x_{a^1} \dots)$.
 5.2.

6.1

Me V

$$\begin{pmatrix} 1 \\ 2 \end{pmatrix} \quad l: \quad - \quad : \quad - h(M). \quad h. \quad (13)$$

$$= u \pmod{q}. \quad (14)$$

$$\begin{matrix} -0. \\ 3- \end{matrix} = 1. \quad (\quad) \quad , \quad -$$

$$0 < k < q. \quad (15)$$

$$\begin{matrix} 4- \\ \end{matrix} = \quad rsx^{\text{mod} Q}, \quad (16)$$

$$\begin{matrix} - - \\ 5- \end{matrix} = 0, \quad 3.$$

$$ss(rd^{**}e) \pmod{q}. \quad (17)$$

$$\begin{matrix} s=0, \\ 6- \end{matrix} \quad 3. \quad s. \quad s. \quad - \quad d \quad , \quad 2.$$

£ - HIS

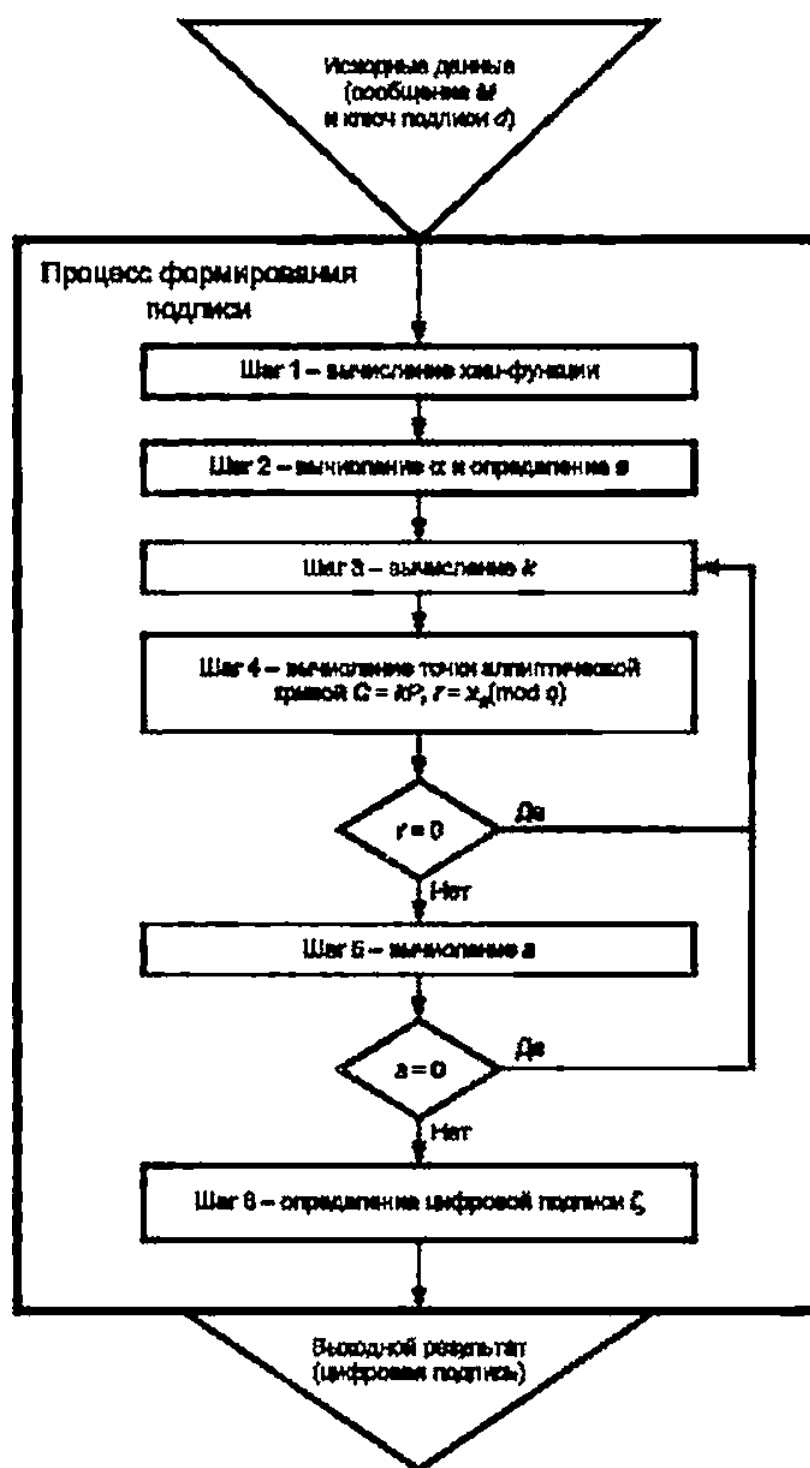


Рисунок 2 — Схема процесса формирования цифровой подписи

6.2

£

*

()

11:

Q

$$0 < \frac{1}{2} < s < 1,$$

$$h - h(M). \quad (18)$$

3 — . / . -

$$\text{esa}(\text{mod } p). \quad (19)$$

$$\begin{aligned} &= 0. \\ &4 - \\ &5 - \end{aligned} \quad \begin{aligned} &= 1. \\ &-1 \pmod{5}. \end{aligned} \quad (20)$$

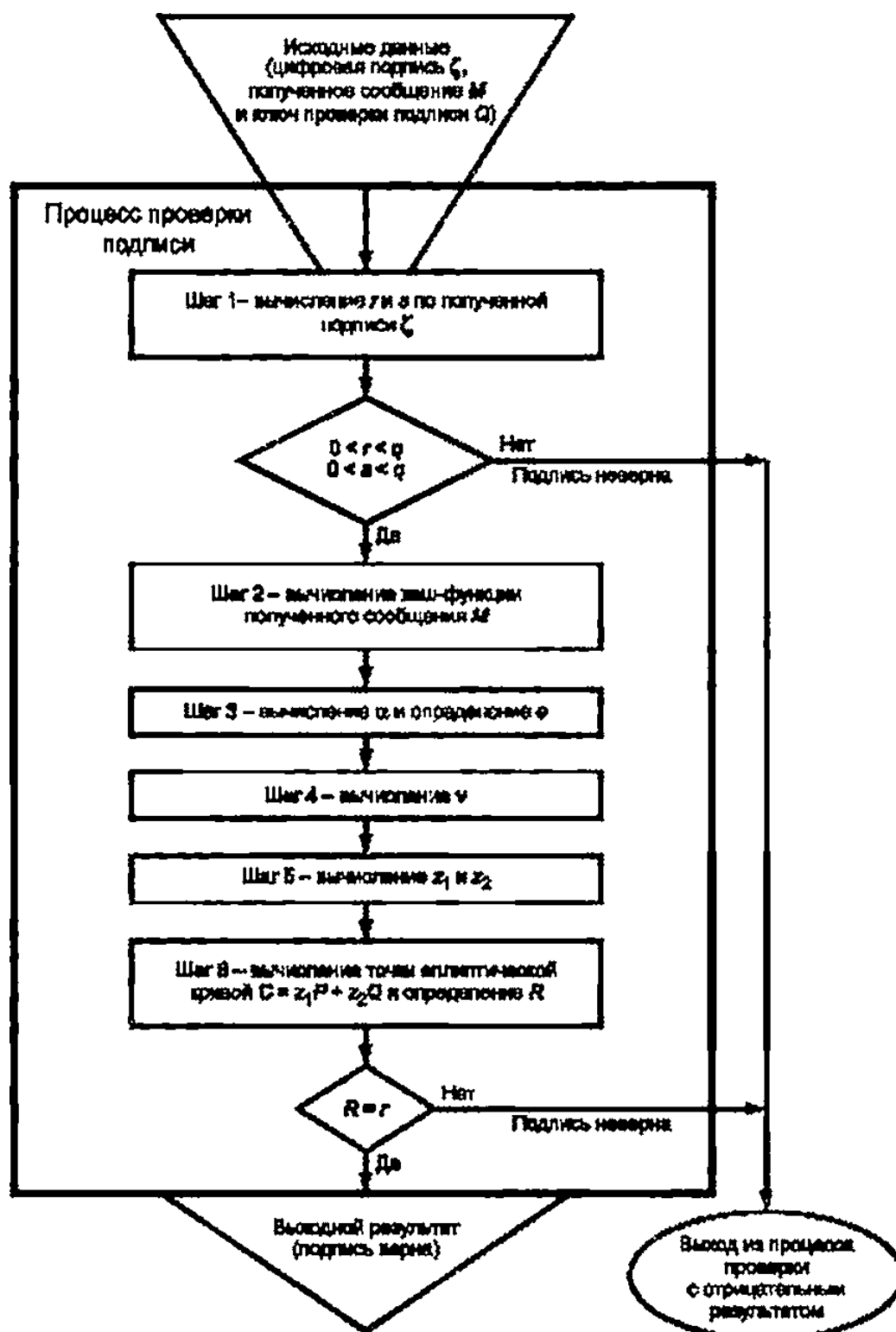
$$z_1 = sv \pmod{.2} = -rv \pmod{.2}. \quad (21)$$

$$6 - \frac{-z, P_2^0}{R s x_t \pmod{.}}. \quad (22)$$

— 7 —

\wedge

3.



()

 $\cdot \cdot \mathbb{E} > \cdot \cdot , q, \cdot \cdot$

« »

1234511
67690,
49960202.

1234567690

.1	1
.1.1	

(. S.2).
.1.1.1

[illegible]

.1.1.2

6

» 7₀.
» 7_#.

0 «4330887654676727690576590459565093199511
942111794451039583252968842033849580414, .
D« 5FBFF498AA938CE739B8E022FBAFEF40563F6E6A3472FC2A514COCE9DAE23B7E...

.1.1.3

[illegible]

.1.1.4

 q :[illegible]

.1.1.5

•

X

> 40189740S6539037S03335449422937059711
7563S739389905545080690979365213431566280,0,
„ > 8E2A8A0E65147D4BD6316030E16D19M
C85C97F0A9CA267122B96A8BCEA7E8FC8...

.1.1.6

O «55441196065363246126355624130324183111
96576709222340016572108097750006097525544, „
tf * 7A929AOE789BB9BE10ED359DO39A72C11
11860961F49397EEEE1D19CE9891 28.*

.1.1.7

8

Q.

:

g S7S20216126176808443631405023338071\\
 176630104906 13632182896741342206604859403, $_{10}$.
 x_e * 7F2B49E270D86D90D859S8EC458B5V\\
 OCS8S858A1D4E96768F6689DBD8E56FD808, $_{10}$.
 1761494 441921378154380939194 9654 060VV
 031942662045363639260709847859438286763994, $_{10}$.
 $_{10}$ > 26F1B489O6701DD185C8413A977B3U
 C8BAF6401C593D26627DFFB101 A87FF77DA, $_{10}$.

.1.2

(I)
 1—3 I (. 6.1)

* 20798893674476452017134061S6150827013W
 0637142515379653289952617252661468872421, $_{10}$.
 * 2DFBC1B372D89A1188C09C52E0EEU
 C6IFC£52032AB1022E8E67ECE66728043EE5, $_{10}$.
 « 538541376773484637314038411479966192M
 4150400343430202071296083852889319623339S.C.
 > 77105C9B20BCD3122623C6CF6FCCU
 7B9S6DE33814E95B7FE64FE0924594DCEAB3,*.
 :

« 297009809158179528743712049839382569W
 90422752107994319651632687982059210933395, .
 * 41AA2802F1AB148260C09EDS6FE0W
 A419740535S4A42767B83AD043FD39DC0493,».
 * 328425352786846634770046653225170845
 06804721032454543268132854556539274060910, .
 « 489C375A9941A3049E33B34361DDX1
 204172AD98C3E5916OE2769SO22A61FAE46E, $_{10}$.

(mod g)

:

(297009809158179S28743712049839382569U
 90422752107994319651632687982059210933395, $_{10}$.
 * 41AA28D2F1AB148280CD9ED56FEOU
 41974053554A42767B83AD043FD39DC0493, $_{10}$.

s { } (mod g)

:

> 57497340027008465417692531001914703U
 8455227042649098563933718999175515839552, $_{10}$.

S* 1456 64 4642 165 3C235A98A60249BCO6D3F 74 6 8 631DF928014 F6C5BF9C40, $_{10}$.

.1.3

(II)
 1—3 II (. 6.2)

> 2079889367447645201713406156150827013VV
 0637142515379653289952617252661468872421, $_{10}$.
 > 2DFBC1B372D89A1188C09C52EOEEU
 C61FCE52032AB1022E8E67ECE6672B043EE5, $_{10}$.

 $v^* \cdot **$ (mod g)

:

v « 176866836059344686773017138249002685U
 62746883080675496715288036572431145718978, .
 > 271A4E6429F64EBC423E388964555B8U
 29D3BA53C78F945E5FAC8F3817063S4C2, $_{10}$.

 $z_3 \cdot -rv$ (mod g)

:

2, > 376991675009019385568410572935126561M
 08841345190491942619304532412743720999759, $_{10}$.
 2, > 5358F8FFB38F7C09ABC782A2DF2AW
 39270A4077007205F763662F3A76C901984F, $_{10}$.
 2 • 1417199842 73434721125159179695007657W
 6924665583897286211449993265333367109221, $_{10}$.
 2; > 3221B4FBBF6D101074EC14AFAC2D4F7U
 EFAC4CF9FEC1ED11BAE336D27D527665, $_{10}$.

2, $+z_3Q$

$> 297006809158179528743712049839382569911$
 $0422752107994319651832687982059210933395_{,0}$
 $\gg 41AA28D2F1AB148280CD9EDS6FED11$
 $41974053554A42767B63AD043F039DC0493_{,,}$
 $\ll 328425352786646634770946653225170845011$
 $6804721032454543268132854556539274060910_{,0}$
 $> 489\ 375\ 9941\ 3049\ 33834361DD11$
 $204172AD98C3E5916DE2769S022A61FAE46E_{,,}$

(mod q)

$R > 2670098091581795287437120498393625699$
 $0422752107994319651632687982059210933395_{,}$
 $\gg 41AA28D2F1AB148280CD9ED56FE0U$
 $A419740S3554A42767B83AD043FD39DC0493_{,,}$

R

.2
 .2.1

5.2).

.2.1.1

$\ast 362398610222900363590778875368387430602132092553467860SOU$
 $865461504508561666240024825884820222714968540250908236030511$
 $8735163734263822371964987228562907372403_{,}$
 $\gg 4531AC01FE0023C7550D26786B2FEE80922B14B2FFB90F0404EB7C09BS02015DM$
 $F1D852741AF47Q4A0458G47E80E4S46D35B6336FAC224OD816648BF528BE6373_{,e},$

.2.1.2

6

\ast
 \ast

$O > 151865506921082853450895003471404315492874752774020643611$
 $194018823352809982443793732829756914785974674666041605397883677511$
 $96626326413990136959047435811826396_{,,}$
 $\gg 1CFF0806A31116OA29D8CFA54E57EB748BC5F377E49400FDO788B649ECA1\ 411$
 $361834013B2AD7322460A89CA58E0CF74BC9E\ 540C2ADD6897FAD0A3064F302AOC_{,,},$

.2.1.3

$\bullet 3623986102229003635907768753683874306021320925534678605086546111$
 $5045085616662396916489630503286306849996140407943793658545586519221211$
 $970734808812618120619743_{,,},$
 $4531ACD1FE0023C7550D267B6B2FEEa0922B14B2FFB90F04D4E87C09B5D2D15D11$
 $A82F2D7ECB1DBAC719905C5EECC423F1D86E25EOBE23C595O644AAF187E6E6DF_{,,},$

.2.1.4

q

:

$q \ll 3623986102229003635907786753663674306021320925534678605086546111$
 $5045085616662396916489630503286306849096140407943793658545586519221211$
 $970734808612618120619743_{,0},$
 $4531ACOlFE0023C75500267B6B2FEEa0922B14B2FF890F0404EB7C09B502015DI\$
 $A82F2D7ECB1DBAC71990SCSECC423F1D86E25EOBE23C595D644AAF187E6E6DF_{,,},$

.2.1.5

:

$X, \ast 1928356944067022849399309401243137598997786635459507974357075491307766511$
 $9268583544106S5576810031848746196S80049032123326842523358302507295276323611$
 $3493573274_{,,},$
 $\ast 24D19CC64S72EE30F396BF6E8BFO7A6CS21383B3D7O57CC825F91O93A68CD76211$
 $F060611262C06380C6e60AA7EEE804E28BC849977FAC33B4B530FIB120248A9A_{,e},$
 $> 2288728693371072859970012155529478416353562327329506180311$
 $14497425931102660301572614141997072271708607066593850650334152381811$

34.10—2012

57347798885864807605098724013854,0,
28B312A43BD2CE6E0DO2O613C857ACODCFBF061E91E5F2C3F32447C2S9F398211
C83AB156D77F1496BF7EB3351E1EE4E43DC1A18B91B24640B6OBB92CB1ADD371E,,.

.2.1.6

,
d:
d • 610081804136373098219538153239847583006845519069531562982388135W
3548906063017822553836083934233723790576655275951168273070250464588311
74407661211804 6687 5860,₀.
d » BA6048AAOAE241BA40936D47756D7C93091A0E8S14669700EE7508E508B10207211
E8123B2200A0563322OAD2827E2714A2636B7BFD18AAOFC62967821FA18OO4,,.

.2.1.7

,
Q.
:
, > 909546853002536596556690768669830310006929272546556281S963W
729653703124985631823204368928700528426G8608262832456858223580U
713780290717986855863433431150561, .
, « 11SDCSBC967S0C7B48598D6AB9E740D4C4A65A65BE33C181SB5C32OC854621OU
D5A51S8S6D13314AF69BC58924C8B4DOFF75C45415C1D9D09DD33612C0530EFE1,,.
* 29214572033744256206324497342484154556407008235594887051648956U
37509539134297327397380287741428246088626609329139441895016863758W
984106326600572476822372076,^,
4> 37C7C9OCO4OBOF5621DC3AC1B751CFAOE2634FAO5O383D52639F507F872AFD611
1EA199441O943FFE7F0C70A2759A3CDB84C114E1F9339FDF27F35ECA93677BEEC,,.

.2.2

(1)
1—3 I (. 6.1) :
» 2897963881682868575562827278553865049173745197871825199562947\\
4190413889509705366611095534999542487330887197488445389646412816544W
63513296973827706272045964,₀.
« 3754F3CFACC9EO615C4F4A7C4O8DAB531809B6F9C17OC533A71O147O35B0C591U
7164EES36593F4414339976C64 7C5D5A407ADEDB1D560C4FC6777D2972075B8C,_B.
1755163560258504995406282799211252803334510317477377916502U
08144243182057075034446102986750962508909227235866126872473516807810541 1
4 7529710309879958632945,0,
359E7F481410FEACC570456C6801496946312120B39O019D455986E364F3U
65866748EO7A44B3E794434006011842286212273A6014CF70EA3AF71BB1AE679F I,^.
•
> 24892044770313492650728646430321477536674S13192821314440274986373W
5761109261022179510187141292882371680595982870833028424365345308S3U
22004442442534151761462,₁ ,
* 2F86FA60A081091A23DD795E1E3C689EE512A3C82EEODCC2643C78EEA8FCAC1V
D35492558486B20F IC9£CI97C9O699850260C93BCBCD9C5C3317E19344EI73AE36,_E.
« 7701738899289918360478447987809604416820626318760961376739468015011
24422293532765176528442837832456936422662546S1370214816293307951711
08430050152108641506310,₁ ,
» EB488140F7E2F4E35CF220BOBC75AE44F26F9C7DF52E82436BOE80A91831DA27W
C81OOOAA876F9ADCOO28A82DO3826O4DC7F92E471DA23E55EOEBB3927C85BO6,0.
r*x_c(mod g> :
«24892044770313492650728646430321477S3667451319282131444027498637311
57611092610221795101871412928823716805959828708330284243653453065311
22004442442534151761462,0,
* 2F86FA60A081O91A23OO79SE1E3C689EES12A3C82EEODCC2643C76EEA8FCAC11
D35492558486820F1 9 197 90699850260 93 09 5 3317 19344 173 36, .
s (rtf) (mod 9) :
«864523221707669519038849297382936917075023735848431S799195987W
9931338518056474867719563967246017942176077069327803095680769011511
822709903853682831835159370.0.
3 » 1081B394696FFE6E658SE 7A9362O26B6325F56778AADBC081C0BF8E933O52FF5811
23CE288E8C4F3625260800F7F70CE406A6EE81F56919CB92A9853BDE73E5B4A,,.

.2.3

(II)

1—3 II { . 6.2) :

> 2897963881682868575562827278S5386S04917374S197871825199562947\\
 4190413869609705366611095534999542467330887197488445369646412816544»
 63513296973827706272045964₁₀,
 3754F3CFACC9E0615C4F4A7C4D8DA8S31B09B6F9C170C533A71D14703S80CS91»
 7184EE536593F4414339976C647C5O5A4O7AOEO81D560C4FC6777D2972075B8C,,.

$v \cdot \{ \pmod d \}$:

v«25569421S394605222266074084316408615387769223440078319114692849»
 356194345732344708924001925205696280688153534004145821243990606136»
 7072238185934815960252671,
 v « 30D212A9E25D1A80A0F238532CAOF3E64O7EF4E782B6AD140AAF8BBD9B84729»
 84595EEC87B2F3446A1999D5F0A6DE0614A55AO875721EC8CFD504000B3A840FF,,.

, * sv(mod d) ₃ »-iv (mod d) :

2, 3206470827336768629686907101873475250343306446089030311214484»
 38587274320S045180345206826552901003496732941049780357793541942055»
 600084956198173707197902575_{1a}.
 2, > 3D38E7262D69BB2AD240D81EEA2F92E6348D619FA450078175837CF13B026079»
 051A46A1A379188F37BA46CE12F7207F2A834 5459FF960E1EB05B4F2A34A6EEF₁₈.
 2₂ > 1366770911834003108142977848021847S973204SS3475356412734827»
 320820470283421680060312618142732308792036907264486312226797437575»
 61637266958056605859603008203,
 2₂> 1A18A31602E6EACOA9868C01941082AEFE296F8404S302603414C2A16E86FC529M
 08O6372ES00C49O6C612CE1FF65BO58EID2029F22690438CC36A76O0A444AC_{8,e}.

» 2, + ₃0 .

«2489204477031349265072864643032147753667451319282131444027498637»
 3576110928102217951018714129288237168059506267083302842436534530853»
 22004442442534151761462₁₀.
 , 2F86FA60A081091A23OD795E1E3C689EE512A3C82EE0DCC2643C78EEA8FCAC»
 D35492558466B20F1C9EC197C90690850260C93BC8C09C5C3317E19344E173AE36,,.
 « 7701736899289918360478447987809604416820626318760961376739468015»
 0244222935327651765284428378324569364226625465137021461620330795170»
 8430050152108641508310, .
 £B486140F7E2F4E35CF2208O8C75AE44F26F9C7OF52Ed2436BDEeOA9I631DA27»
 C6I00DAA676F9AOC0D28A620D3826O4OC7F92E471OA23E5SE0EB83927C85BO_{6,e}.

$R \cdot \pmod d$:

R«24892044770313492650728646430321477536674513192821314440274986»
 373S7611092810221795 18714129288237168059598287083302842436534S3085W
 322004442442534151761462,
 R* 2F86FA60A081091A23D0795E1E3C689EE512A3C82EE0OCC2643C78EEA8FCAC»
 035492558486820F1C9EC197C90699850260C93BC8CD9CSC3317E19344E173AE36,,.

R .

*

(1)	2382-2:1976	2.	-
	(ISO 2382-2:1976)	(Data processing — Vocabulary — Part 2: Arithmetic and logic operations)	
(2)	/ 9796-2:2010	2.	-
	(ISO/IEC 9796-2:2010)	(Information technology — Security techniques — Digital signature schemes giving message recovery— Part 2: Integer factorization based mechanisms)	
(3)	/ 9796-3:2006	3.	-
	(ISO/IEC 9796-3:2006)	(information technology — Security techniques — Digital signature schemes giving message recovery — Part 3: Discrete logarithm based mechanisms)	
(4)	/ 14888-1:2008	1.	-
	(ISO/IEC 14888-1:2008)	(Information technology — Security techniques—Digital signatures with appendix — Part 1: General)	
(5)	/ 14888-2:2008	2.	-
	(ISO/IEC 14888-2:2008)	(Information technology — Security techniques—Digital signatures with appendix — Part 2: integer factorization based mechanisms)	
(6)	/ 14888-3:2006	3.	-
	(ISO/IEC 14888-3:2006)	(Information technology — Security techniques — Digital signatures with appendix — Part 3: Discrete logarithm based mechanisms)	
(7)	/ 14888-3:2006/ 1:2010	3.	1.
	(ISO/IEC 14888-3:2006/Amd 1:2010)	(Information technology — Security techniques—Digital signatures with appendix— Part 3: Discrete logarithm based mechanisms. Amendment 1. Elliptic Curve Russian Digital Signature Algorithm. Schnorr Digital Signature Algorithm. Elliptic Curve Schnorr Digital Signature Algorithm, and Elliptic Curve Full Schnorr Digital Signature Algorithm)	
(8)	/ 10118-1:2000	1.	-
	(ISO/IEC 10118-1:2000)	(Information technology — Security techniques — Hash-functions — Part 1: General)	
(9)	/ 10118-2:2010	2.	-
	(ISO/IEC 10118-2:2010)	(information technology — Security techniques — Hash-functions — Part 2: Hash-functions using an n-bit block cipher)	
(10)	/ 10118-3:2004	3.	-
	(ISO/IEC 10118-3:2004)	(Information technology — Security techniques — Hash-functions — Part 3: Dedicated hash-functions)	
(11)	/ 10118-4:1998	4.	-
	(ISO/IEC 10118-4:1998)	(Information technology — Security techniques — Hash-functions—Part 4: Hash-functions using modular arithmetic)	

*

/

«

»

34.10—2012

681.3.06:006.354

35.040

5001

85

• •

,

,

2

,

,

,

...
.../7 <

...

25.12.2012.

00.02.2013.

0 4'/].

... 2.79.

... 2.40.

... 121.

«

». 123095

.. 4

«vw1v.9o1tnfo.ru info^goslinforu

«

»

«

» — . «

». 105002

.

.. 0.

Федеральное агентство
по техническому регулированию
и метрологии

Федеральное агентство
по техническому регулированию
и метрологии

Федеральное агентство
по техническому регулированию
и метрологии

Федеральное агентство
по техническому регулированию
и метрологии

Федеральное агентство
по техническому регулированию
и метрологии

Федеральное агентство
по техническому регулированию
и метрологии